

# 東京湾における海底摩擦係数の測定について

市原正史\*・橋間元徳\*\*・鷲見栄一\*\*\*

## 1. 序論

海底摩擦係数は、潮流の数値シミュレーションにおいては、一般に、 $2.6 \times 10^{-3}$  という定数が用いられているが、これを現地観測によって確認した例は少ない<sup>1)</sup>。これは、計器の開発が遅れ、測定が困難であること大きな原因がある。海底摩擦係数の測定には、モーメンタム法、流速分布法、渦相関法(レイノルズ応力法)、プレストンチューブ法などが用いられる。著者の一人は従来より超音波流速計による海底摩擦測定装置の開発を進めており、また、海外においても最近同様の計器が開発された。今回、これらの計器を用いて、渦相関法による海底摩擦係数の測定を試み、成果を得たので報告する。

なお、著者の一人は、東京湾における従来の測定から、海底面上数 m の区域は Constant Stress Layer と仮定されることを確認した<sup>2)</sup>。この仮定のもとでは、境界層内一点における流速変動から、渦相関法による海底摩擦係数の測定が可能となる。ここでは、これらの成果を踏まえて測定水深を海底面上 1 m に設定した。

## 2. 測定の概要

### (1) 測定機器

海底附近の流れを測定する流速計としては電磁流速計と超音波流速計が一般的である。水平方向に二次元の流れを測定する場合には双方の計器ともに使われているが、鉛直方向を含んだ三次元の流れを測定するには現在のところでは超音波流速計しかない。また、海域の任意の地点で測定するには、センサー、回路、データ収録装置、電源がひとつに内蔵されているタイプが望ましい。これには低消費電力型の回路やデータ収録装置の開発が必要であり、わが国以外ではアメリカとノールウェイで成功している。内蔵型三次元超音波流速計の代表的なもので、本測定で使用したものについての性能比較を表-1 に示す。また、その全体図を図-1 と図-2 に示

表-1 内蔵型三次元超音波流速計の性能比較表

	計器 1	計器 2
メーカー	海上電機(株)	クリスチャン・マイケルセン研究所
流速センサー	対向型 ( $X, Y, Z$ )	反射板型 ( $X, Y$ ) 対向型 ( $Z$ )
測定方式	時分割送受切換式 シングル・アラウンド方式	時間差方式
測定精度	$\pm 5 \text{ mm/sec}$	$\pm 2 \text{ mm/sec}$
記録装置	Datel カセット・レコーダー	Memodyne カセット・レコーダー
記録容量	$2.2 \times 10^6$ ピット	$2.2 \times 10^6$ ピット
記録	連続	300 フィート・テープで 13 時間 (1 秒間隔)
時間	離散	300 フィート・テープで 8 時間 (1 秒間隔) $l$ 分毎に $m$ 回 $n$ 秒間隔に設定できる。 $l=10, m=10, n=2$ で 20 日間
電源	単一型リチウム電池 5 個	単一型リチウム電池 13 個
その他	方位計、傾斜計 付属	方位計、気泡式水準計、サニミスター付属
備考	第 1 回目の測定に使用	第 2 回目の測定に使用

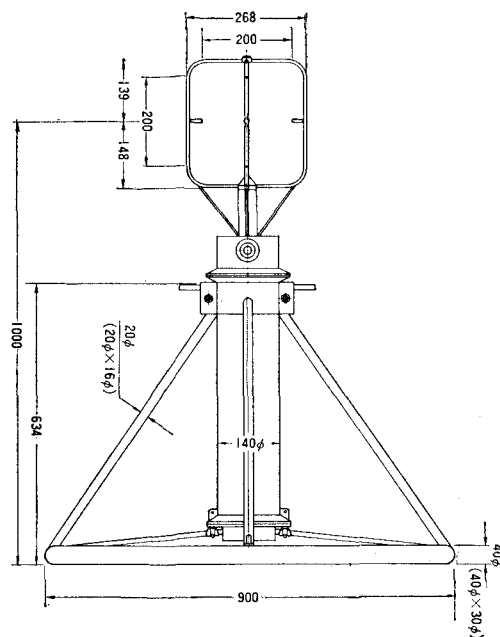


図-1 超音波流速計(計器 1)

\* 正会員 工修 運輸省第二港湾建設局横浜調査設計事務所

\*\* 正会員 工修 運輸省港湾局計画課(前横浜調査設計事務所)

\*\*\* 正会員 工修 工業技術院公害資源研究所

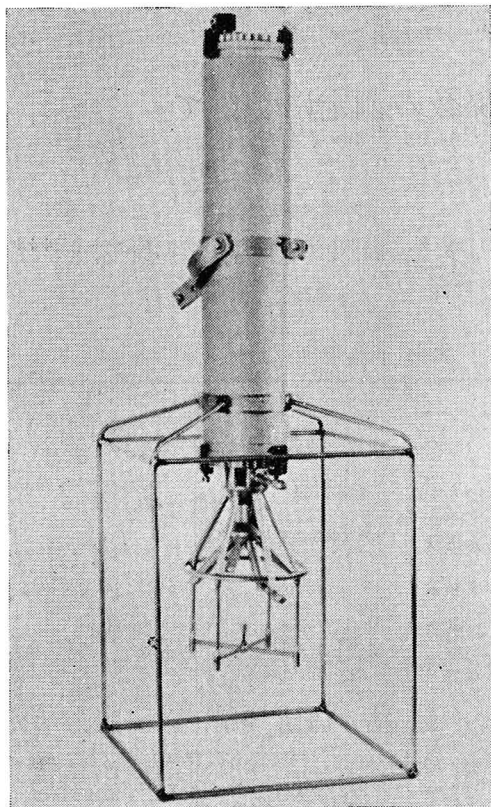


図-2 超音波流速計(計器2)

す。海洋では塩分と温度が時間的に変化しているため音速の効果が問題となっている。計器1において用いているシングアラウンド方式は音速を換算方式の中に入れないとことにより<sup>3)</sup>、計器2において用いている時間差方式は音速を測定ごとに補正することにより<sup>4)</sup>、それぞれ、問題点を解決している。測定可能時間は記録装置やカセットテープにより決まってくるが、両方とも2トラック方式のカセットレコーダであり、記録フォーマットにより多少の差がある。

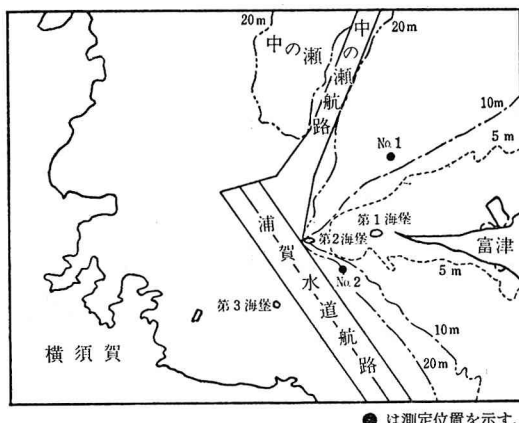


図-3 測定位置図

## (2) 測定地点

測定は、東京湾の富津沖2点で各2回行った。測定位を図-3に、測定日時・測定地点の水深および近傍の底質の平均粒径を表-2に示す。底質はいずれも砂質で

表-2 測定の概要

測点	測定日時		測定地点の中央水深 m	底質の 平均粒径 mm		
	第1回目					
	年月日	時分				
No. 1	54/6/26	7:10~18:00	14.5	0.12		
No. 2	54/6/25	7:00~18:10	21.0	0.35		

ある。測点1は水深14.5mと浅く地形的にも平坦な所である。測点2は東京湾入口で、幅が狭く水深も21mと深い。附近一帯は東京湾の中でも流速が最も速い所である。

## (3) 測定データの特性

東京湾は半日周潮型の潮汐流が卓越している。今回の測定においては測定時間が6~11時間であるので、いずれも流速最強時を含んでいる。最強流速は、測点1では第1回目・第2回目とも25cm/sec、測点2では第1回目45cm/sec、第2回目55cm/secとなっている。これは、前述のような地形的特性に寄因するようである。

なお、波は湾外(浜金谷沖)の観測値で、測点1の第1回目の測定時に有義波高0.5~1.3mを記録しているが、他はおおむね0.5m以下である。周期はいずれも5sec前後である。

## 3. 解析結果

### (1) データ処理方法

得られたデータは6~11時間にわたる1秒ごと3方向の流速成分である。今、水平2方向および鉛直方向の流速成分を $X_i, Y_i, Z_i$ とすると、主流方向の10分間水平平均流速 $\bar{U}$ とその流向 $\bar{\theta}$ は、

$$\bar{U} = \sqrt{X_i^2 + Y_i^2} \quad (i=1 \sim 600) \quad \dots \dots \dots (1)$$

$$\bar{\theta} = \tan^{-1}(X_i/Y_i) \quad \dots \dots \dots (2)$$

となる。次に、主流方向の水平流速を $U_i$ 、鉛直流速を $W_i$ ( $W_i = Z_i$ )、流向を $\theta_i$ とすると、主流方向とその直角方向および鉛直方向の流速変動成分 $u_i, v_i, w_i$ は、

$$u_i = U_i \cos(\theta_i - \bar{\theta}) - \bar{U} \quad \dots \dots \dots (3)$$

$$v_i = U_i \sin(\theta_i - \bar{\theta}) \quad \dots \dots \dots (4)$$

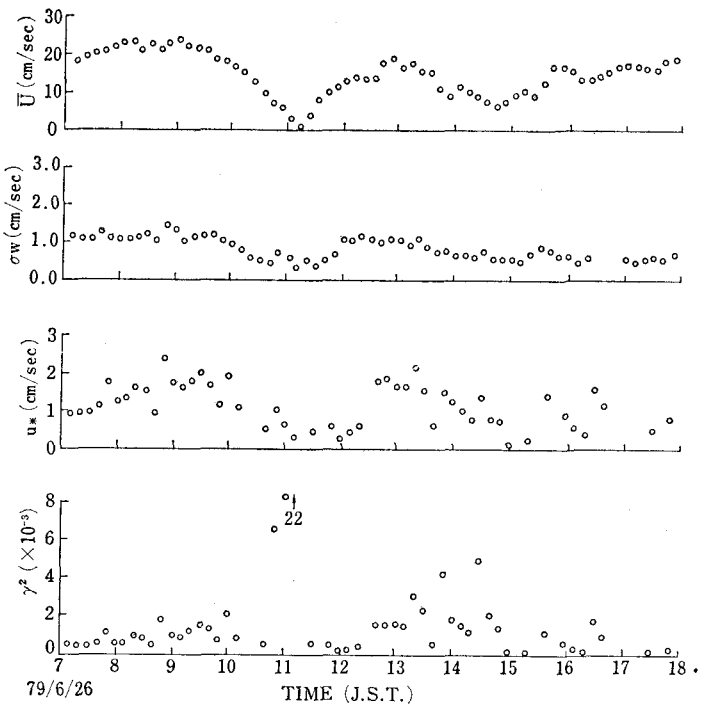
$$w_i = W_i - \bar{W}_i \quad \dots \dots \dots (5)$$

となる。ここに、 $U_i = \sqrt{X_i^2 + Y_i^2}$ 、 $\theta_i = \tan^{-1}(X_i/Y_i)$ である。これらの値から、摩擦速度 $u_*$ 、海底摩擦係数 $r^2$ は、

$$u_* = \sqrt{-u_i w_i} \quad \dots \dots \dots (6)$$

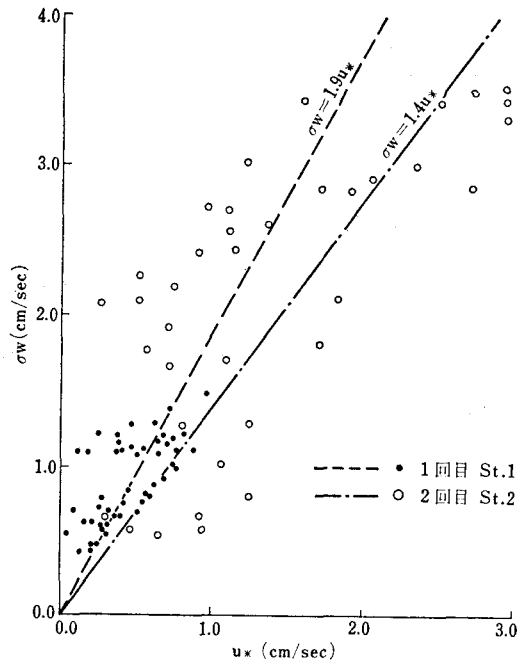
$$r^2 = (u_*/\bar{U})^2 \quad \dots \dots \dots (7)$$

によって算定される。

図-4  $\bar{U}$ ,  $\sigma_w$ ,  $u_*$ ,  $\gamma^2$  の経時変化図(測点1, 第1回目)

## (2) 解析結果

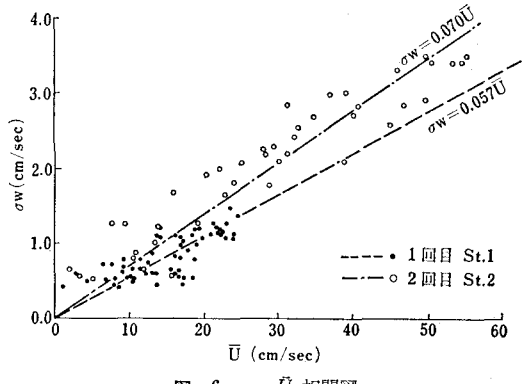
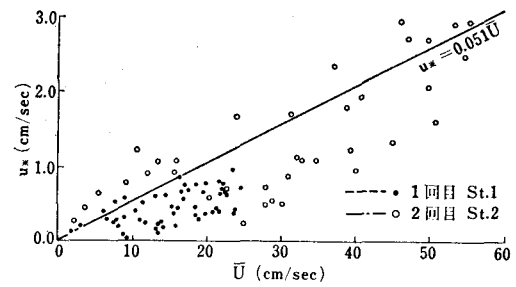
図-4に、主流方向の平均流速  $\bar{U}$ 、鉛直方向の乱れ速度  $\sigma_w (= \sqrt{\bar{u}_i^2})$ 、摩擦速度  $u_*$ 、摩擦係数  $\gamma^2$  の経時変化の一例を示す。 $\bar{U}$ は、若干不連続になる所があるものの半日周潮型の潮汐流が卓越していることを示している。

図-5  $\sigma_w \sim u_*$  相関図

また、 $\sigma_w$ ,  $u_*$ ,  $\gamma^2$  は、ほぼ  $\bar{U}$  に従って変動している。 $\sigma_w \sim u_*$ ,  $\sigma_w \sim \bar{U}$ ,  $u_* \sim \bar{U}$  の関連をみたのが図-5, 6, 7 の各図である。また、各測点ごとに、これら諸量の間に線形関係があるとして、平均的に  $\sigma_w / U_*$ ,  $\sigma_w / \bar{U}$ ,  $u_* / \bar{U}$  を求めてみた結果を表-3に示す。

$\sigma_w$  と  $u_*$  の関連については線形関係が理論的に仮定されており、大気境界層の場合、Hanna<sup>5)</sup> は  $\sigma_w = 1.3u_*$  を、海底境界層の場合、McCave<sup>6)</sup> は  $\sigma_w = 1.2u_*$  を与えている。今回の測定においては、表-3に示す通り線形定数の値は一定ではないが、図-5に示す通り、各測定データごとについてみれば線形関係の存在はうかがえる。ただし、いずれも Hanna らの値より大きい値となっている。

$\sigma_w$  と  $\bar{U}$  の関係は、Reynolds 数等の影響を受けるから一義的な関係を求めるには問題があるかもしれないが、一定程度の幅を持ちながら線形関係は保ち得ると考えられる。今回の観測データについてみると、図-6に示すように比較的強い線形関係がうかがえる。線形定数の各測点ごとの値は、表-3に示す通り比較的安定した値となっている。

図-6  $\sigma_w \sim \bar{U}$  相関図図-7  $u_* \sim \bar{U}$  相関図

